

TRIODE-PENTODE; triode section for use as A.F. pre-amplifier and oscillator, pentode section for use as synchronizing pulse separator, frame output valve and audio output valve

TRIODE-PENTHODE; la triode pour utilisation en pré-amplificatrice B.F. et oscillatrice, la penthode en séparatrice des impulsions de synchronisation, amplificatrice de sortie du son et de base de temps image

TRIODE-PENTODE; Triode zur Verwendung als N.F. Vorverstärker und Oszillator, Pentode als Synchronisierungstrennungsröhre, Endröhre für die vertikale Ablenkung und für die Schallwiedergabe

Heating: indirect by A.C. or D.C.; parallel or series supply

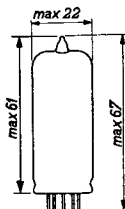
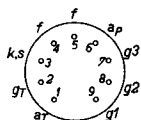
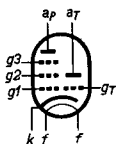
Chauffage: indirect par C.A. ou C.C.; alimentation en parallèle ou en série

Heizung: indirekt durch Wechsel- oder Gleichstrom; Serien- oder Parallelspeisung

$V_f = 6,3 \text{ V}$

$I_f = 300 \text{ mA}$

Dimensions in mm  
Dimensions en mm  
Abmessungen in mm



Base, culot, Sockel: NOVAL

Capacitances  
Capacités  
Kapazitäten

Triode section  
Partie triode  
Triodenteil

Pentode section  
Partie penthode  
Pentodenteil

$C_g = 2,1 \text{ pF}$

$C_a = 0,8 \text{ pF}$

$C_{ag} = 0,9 \text{ pF}$

$C_{gf} < 0,05 \text{ pF}$

$C_{kf} = 3,7 \text{ pF}$

$C_{g1} = 4,3 \text{ pF}$

$C_a = 4,8 \text{ pF}$

$C_{ag1} < 0,2 \text{ pF}$

$C_{g1f} < 0,25 \text{ pF}$

Between triode and pentode sections  
 Entre les parties triode et penthode  
 Zwischen Trioden- und Pentodenteilen

$$C_{aT-g1P} < 0,2 \text{ pF}$$

$$C_{gT-aP} < 0,12 \text{ pF}$$

$$C_{gT-g1P} < 0,2 \text{ pF}$$

$$C_{aT-aP} < 1,2 \text{ pF}$$

Operating characteristics of the pentode section as audio valve

Caractéristiques d'utilisation de la partie penthode comme tube de sortie du son

Betriebsdaten des Pentodenteiles als Endröhre für Schallwiedergabe

$V_a = V_b$	=	170	200	250	V
$V_{g3}$	=	0	0	0	V
$V_{g2}$	=	170	200	-	V
$R_{g2}$	=	0	0	4,7	k $\Omega$
$V_{g1}$	=	-6,7	-8	-12,2	V
$I_a$	=	15	17,5	14	mA
$I_{g2}$	=	2,8	3,3	2,6	mA
S	=	3,2	3,3	2,6	mA/V
$R_i$	=	0,15	0,15	0,2	M $\Omega$
$\mu_{g2g1}$	=	14	14	14	
$R_a$	=	11	11	17,5	k $\Omega$
$W_o$ ( $d = 10\%$ )	=	1,0	1,4	1,55	W
$V_i$ ( $d = 10\%$ )	=	3,7	4,1	5,3	$V_{eff}$
$W_o$ ( $\eta = 50\%$ )	=	1,27	1,75	1,75	W
$V_i$ ( $\eta = 50\%$ )	=	4,4	5,1	5,9	$V_{eff}$
$V_i$ ( $W_o = 50mW$ )	=	0,7	0,7	0,75	$V_{eff}$

Operating characteristics of the pentode section as synchronizing pulse separator

Caractéristiques d'utilisation de la partie penthode en séparatrice des impulsions de synchronisation

Betriebsdaten des Pentodenteiles als Synchronisierungs-Trennungsröhre

$V_a$	=	20	V	
$V_{g3}$	=	0	V	
$V_{g2}$	=	12	V	
$V_{g1}$	=	0	-1,45	V
$I_a$	=	2	0,1	mA

### Optimum peak anode current in frame output application

To allow for valve spread and for deterioration during life, the circuit should be designed around a peak anode current not exceeding

26 mA at  $V_a = 50$  V,  $V_{g2} = 170$  V

31 mA at  $V_a = 60$  V,  $V_{g2} = 200$  V

42 mA at  $V_a = 70$  V,  $V_{g2} = 250$  V.

The peak anode current of an average new valve is:

38 mA at  $V_a = 50$  V,  $V_{g2} = 170$  V,  $V_{g1} = -1$  V

47 mA at  $V_a = 60$  V,  $V_{g2} = 200$  V,  $V_{g1} = -1$  V

62 mA at  $V_a = 70$  V,  $V_{g2} = 250$  V,  $V_{g1} = -1$  V.

### Courant anodique de crête optimum en application comme tube final de base de temps image

Pour tenir compte des tolérances du tube et de la détérioration pendant la durée de vie, le circuit sera dessiné pour un courant anodique de crête ne dépassant pas une valeur de

26 mA à  $V_a = 50$  V,  $V_{g2} = 170$  V

31 mA à  $V_a = 60$  V,  $V_{g2} = 200$  V

42 mA à  $V_a = 70$  V,  $V_{g2} = 250$  V.

Le courant anodique de crête d'un tube nouveau moyen est de

38 mA à  $V_a = 50$  V,  $V_{g2} = 170$  V,  $V_{g1} = -1$  V

47 mA à  $V_a = 60$  V,  $V_{g2} = 200$  V,  $V_{g1} = -1$  V

62 mA à  $V_a = 70$  V,  $V_{g2} = 250$  V,  $V_{g1} = -1$  V.

### Höchstwert des Anodenspitzenstromes beim Gebrauch als Endröhre für die vertikale Ablenkung

Um den Röhrentoleranzen und der Verschlechterung der Röhre während der Lebensdauer Rechnung zu tragen, soll die Schaltung entworfen werden für einen Höchstwert des Anodenspitzenstromes von

26 mA bei  $V_a = 50$  V,  $V_{g2} = 170$  V

31 mA bei  $V_a = 60$  V,  $V_{g2} = 200$  V

42 mA bei  $V_a = 70$  V,  $V_{g2} = 250$  V

Der Anodenspitzenstrom einer durchschnittlichen neuen Röhre ist

38 mA bei  $V_a = 50$  V,  $V_{g2} = 170$  V,  $V_{g1} = -1$  V

47 mA bei  $V_a = 60$  V,  $V_{g2} = 200$  V,  $V_{g1} = -1$  V

62 mA bei  $V_a = 70$  V,  $V_{g2} = 250$  V,  $V_{g1} = -1$  V.

Typical characteristics of the triode section

Caractéristiques types de la partie triode

Kenndaten des Triodenteiles

$V_a$	=	100 V
$V_g$	=	0 V
$I_a$	=	8 mA
S	=	1,9 mA/V
$\mu$	=	20

Operating characteristics of the triode section as A.F. amplifier

Caractéristiques d'utilisation de la partie triode comme amplificatrice B.F.

Betriebsdaten des Triodenteiles als N.F.Verstärker

$V_b$ (V)	$V_g$ (V)	$R_a$ (k $\Omega$ )	$R_{g1}$ (k $\Omega$ ) <sup>1)</sup>	$I_a$ (mA)	$V_o^{2)}$ (V)	$g$	$dtot$ (%)
170	-3,5	47	150	1,8	22	9,5	8,7
170	-3,5	100	330	1,0	24	10	7,6
170	-3,5	220	680	0,5	24	11	6,5
200	-4,2	47	150	2,2	27	9,5	9,0
200	-4,2	100	330	1,2	29	10	8,0
200	-4,2	220	680	0,6	30	11	6,5
250	-5,5	47	150	2,8	36	9,5	9,2
250	-5,5	100	330	1,5	39	10	8,3
250	-5,5	220	680	0,75	40	11	7,0

The triode section can be used without special precautions against microphonic effect in circuits in which the input voltage  $V_i \cong 50$  mV for an output of 50 mW of the output valve.

La partie triode peut être utilisée sans précautions spéciales contre l'effet microphonique dans des circuits dont la tension d'entrée  $V_i \cong 50$  mV pour une puissance de 50 mW du tube de sortie.

Der Triodenteil darf ohne spezielle Massnahmen gegen Mikrophonie verwendet werden in Schaltungen die für eine Eingangsspannung  $V_i \cong 50$  mV eine Leistung von 50 mW der Endröhre ergeben.

Limiting values of the pentode section

Caractéristiques limites de la partie penthode

Grenzdaten des Pentodenteiles

$V_{a0}$ = max. 550 V	$I_k$	= max. 25 mA
$V_{ap}$ = max. 1200 V <sup>3)</sup>	$I_{kp}$	= max. 350 mA <sup>3)</sup>
$-V_{ap}$ = max. 500 V	$V_{g1}$ ( $I_{g1} = +0,3 \mu A$ )	= max. -1,3 V
$V_a$ = max. 400 V	$R_{g1}$	= max. 2 M $\Omega$ <sup>4)</sup>
$W_a$ = max. 3,5 W	$R_{g1}$	= max. 1 M $\Omega$ <sup>5)</sup>
$V_{g20}$ = max. 550 V	$R_{kf}$	= max. 20 k $\Omega$
$V_{g2}$ = max. 250 V	$V_{kf}$	= max. 150 V
$W_{g2}$ = max. 1,2 W		

<sup>1), 2), 3), 4), 5)</sup>, see page 5; voir page 5; siehe Seite 5.

Limiting values of the triode section  
 Caractéristiques limites de la partie triode  
 Grenzdaten des Triodenteiles

$V_{a0}$	= max. 550 V
$V_a$	= max. 200 V
$W_a$	= max. 1 W
$I_k$	= max. 8 mA
$I_{kp}$	= max. 200 mA <sup>3)</sup>
$V_g (I_g=+0,3\mu A)$	= max. -1,3 V
$R_g$	= max. 3 M $\Omega$ <sup>4)</sup>
$R_g$	= max. 1 M $\Omega$ <sup>5)</sup>
$R_{kf}$	= max. 20 k $\Omega$
$V_{kf}$	= max. 150 V

- 1) Grid leak of the output valve.  
 Résistance de grille du tube de sortie.  
 Gitterwiderstand der Endröhre.
- 2) Output voltage at start of  $I_g$ ; at lower output voltages the distortion is reduced in proportion.  
 Tension de sortie au commencement de  $I_g$ ; à des tensions de sortie plus basses la distortion est réduite proportionnellement.  
 Ausgangsspannung beim Einsatzpunkt von  $I_g$ ; bei niedrigerer Ausgangsspannung wird die Verzerrung proportional verringert.
- 3) Max. pulse duration 10% of a cycle with a maximum of 2 msec.  
 Durée de l'impulsion max. 10% d'un cycle avec un maximum de 2 msec.  
 Impulszeit max. 10% einer Periode mit einem Maximum von 2 mSek.
- 4) With automatic grid bias.  
 Avec polarisation négative automatique.  
 Mit automatischer negativer Gittervorspannung.
- 5) With fixed grid bias.  
 Avec polarisation négative fixe.  
 Mit fester negativer Gittervorspannung.

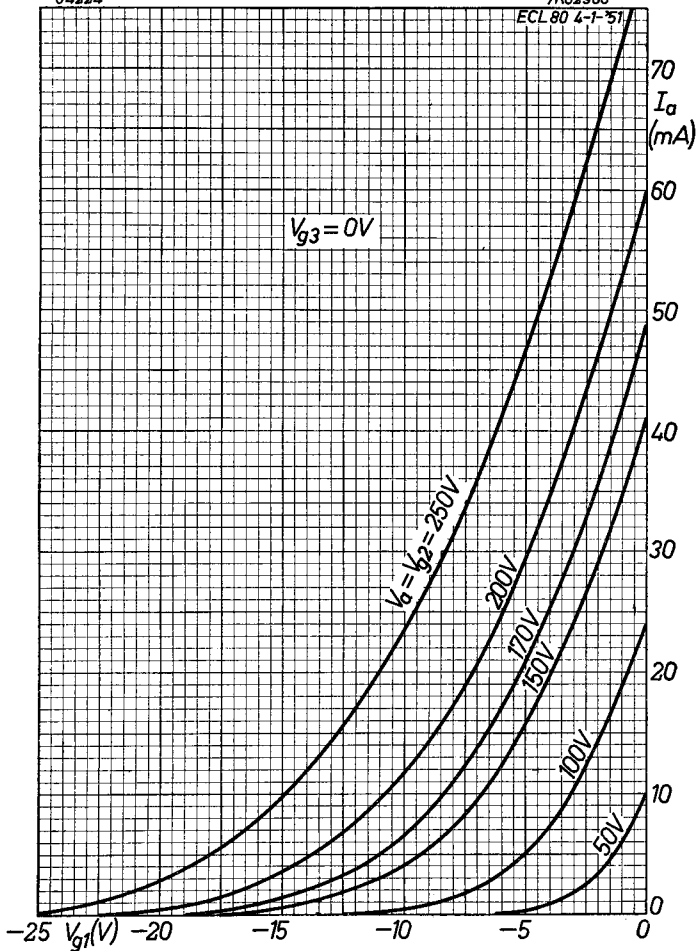
**ECL 80**

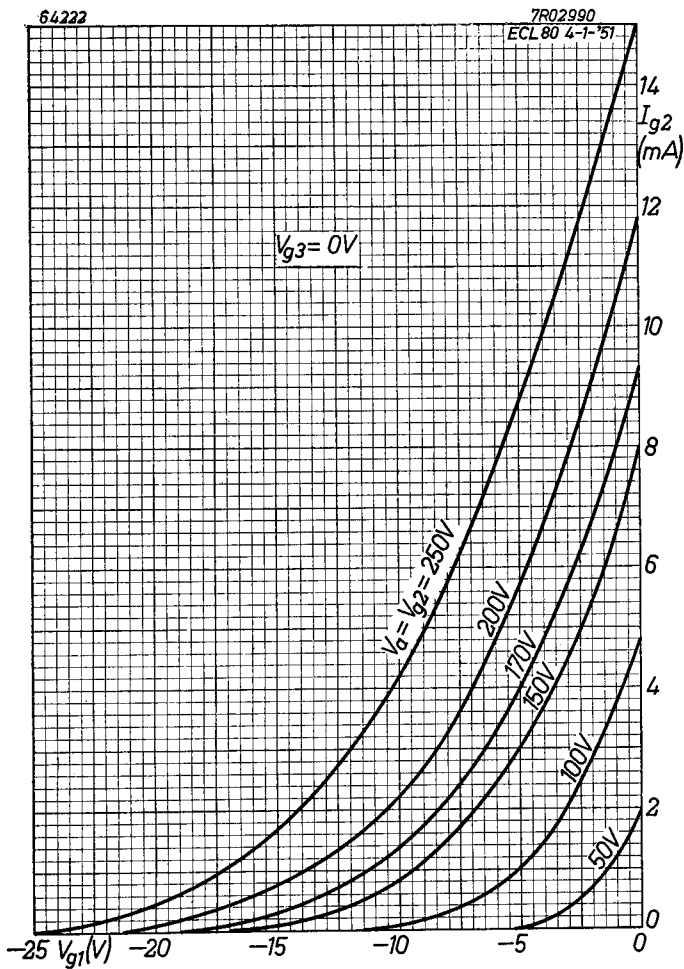
**PHILIPS**

64224

7.702988

ECL 80 4-1-51



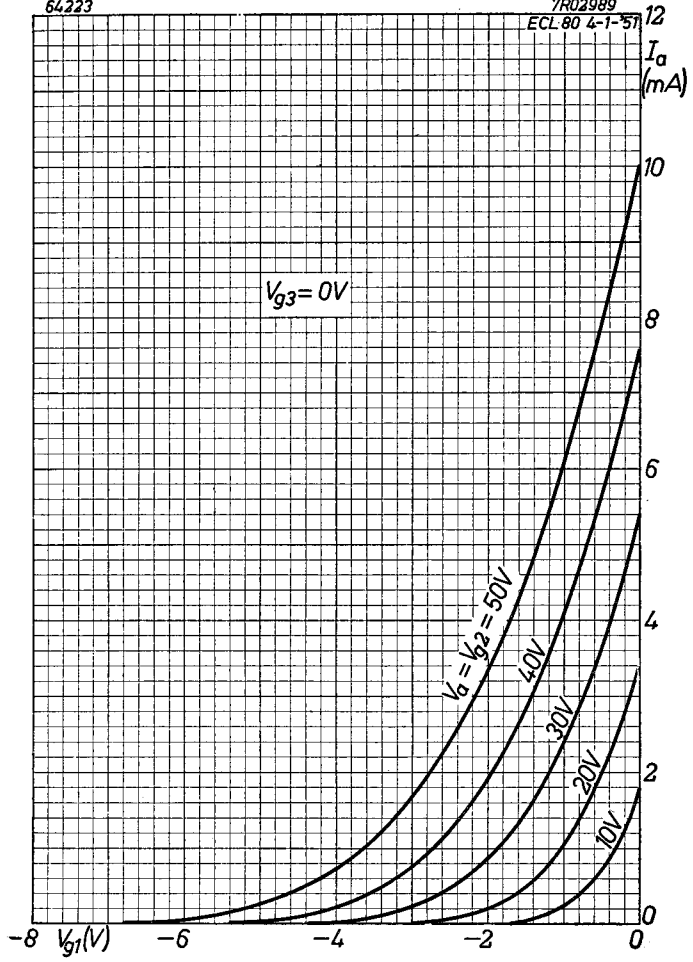


ECL 80

PHILIPS

64223

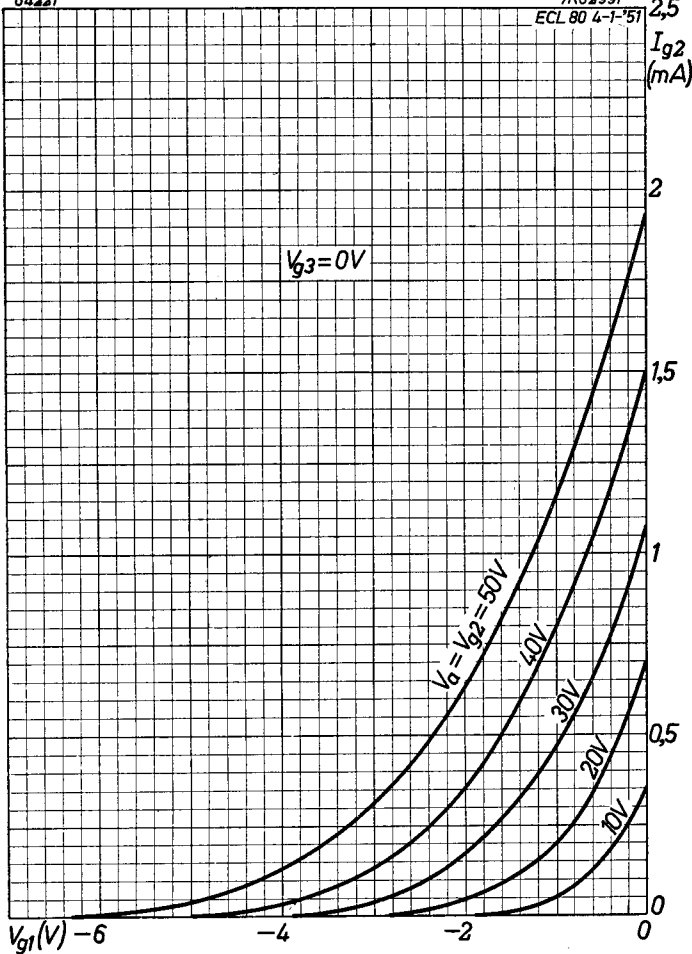
7R02989  
ECL 80 4-1-57



c

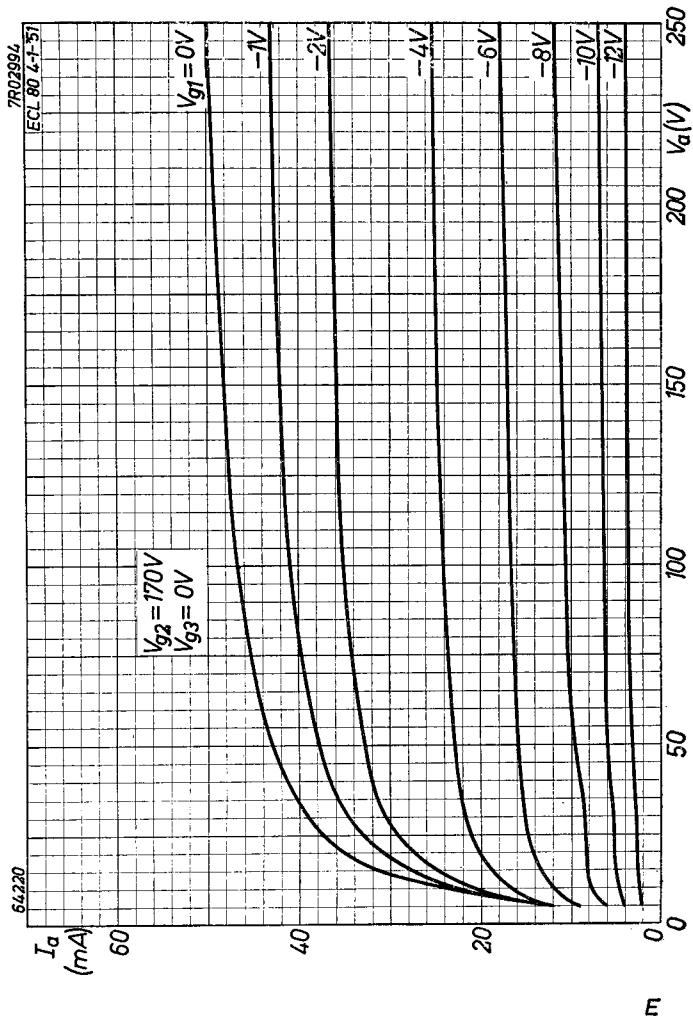


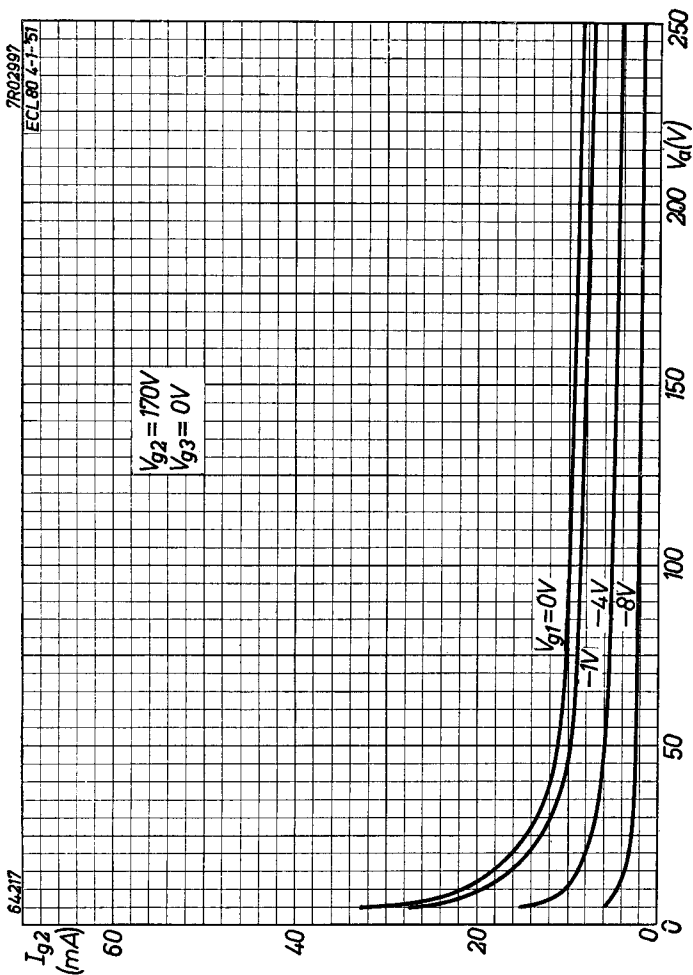
64221

7R02991  
ECL 80 4-1-512,5  
 $I_{g2}$   
(mA)

ECL 80

PHILIPS

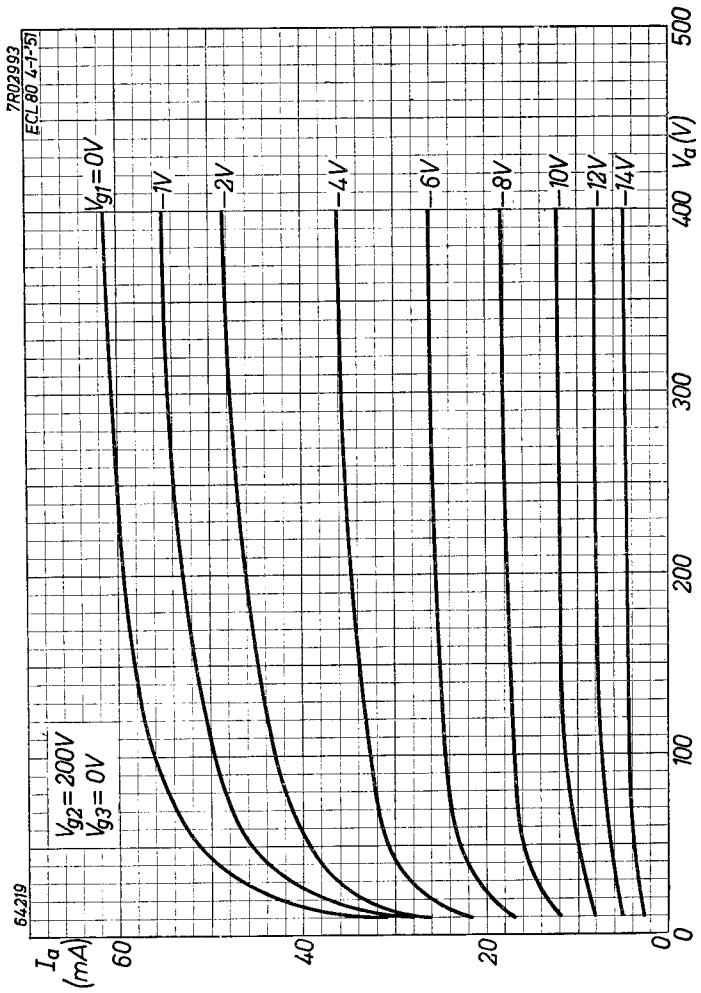




64217

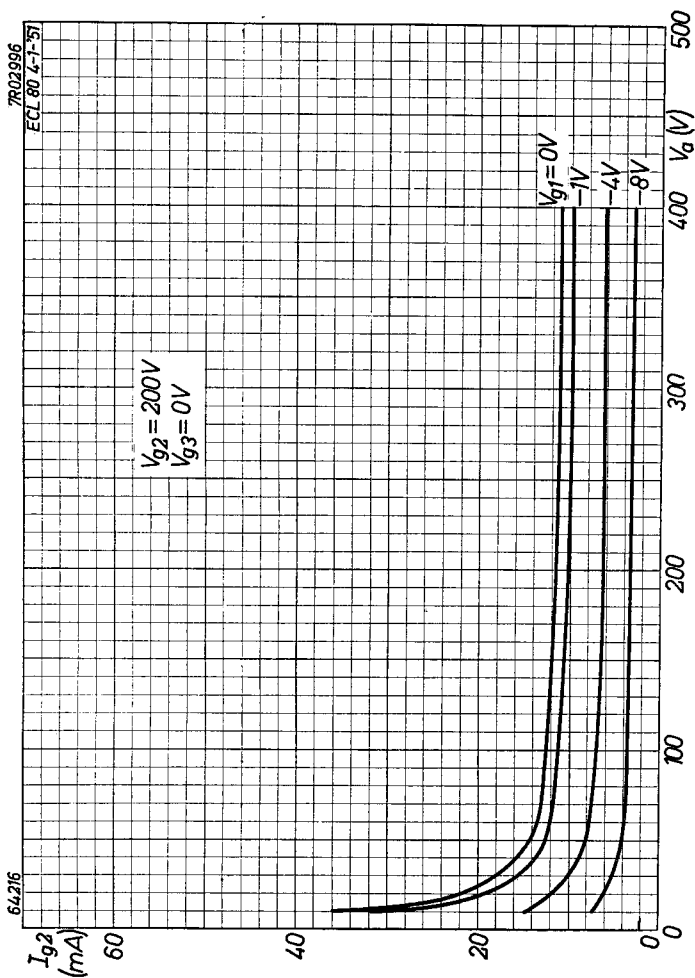
ECL 80

PHILIPS



# PHILIPS

# ECL 80

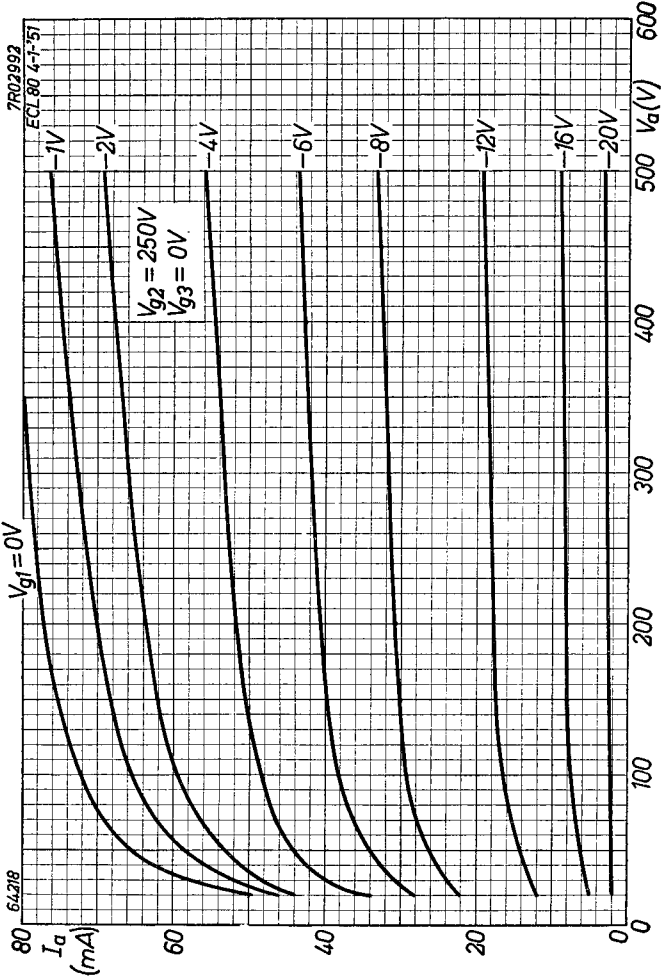


2.2.1951

H

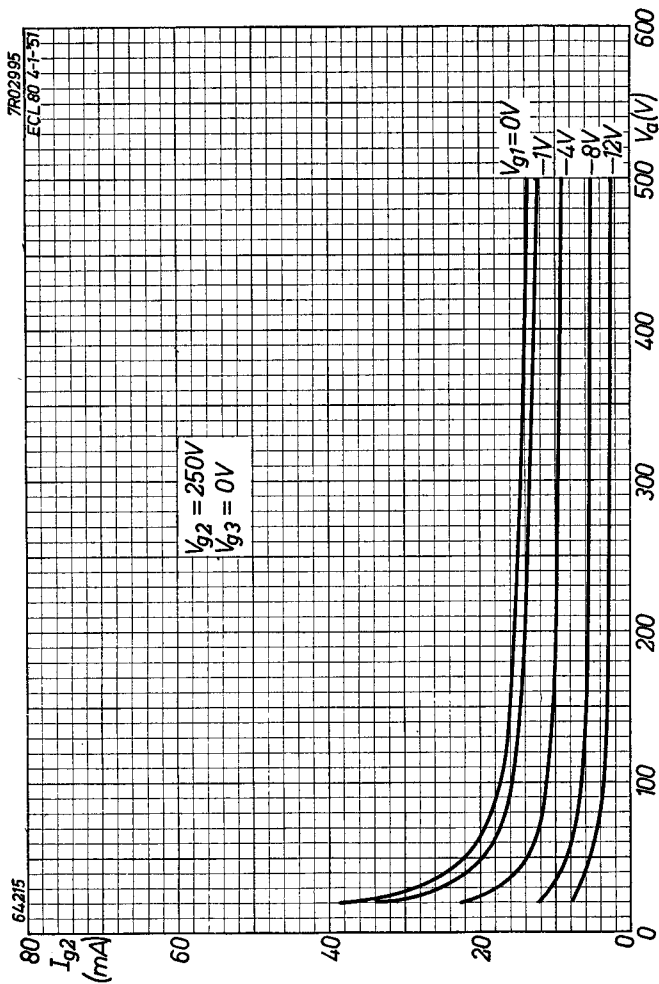
ECL 80

PHILIPS



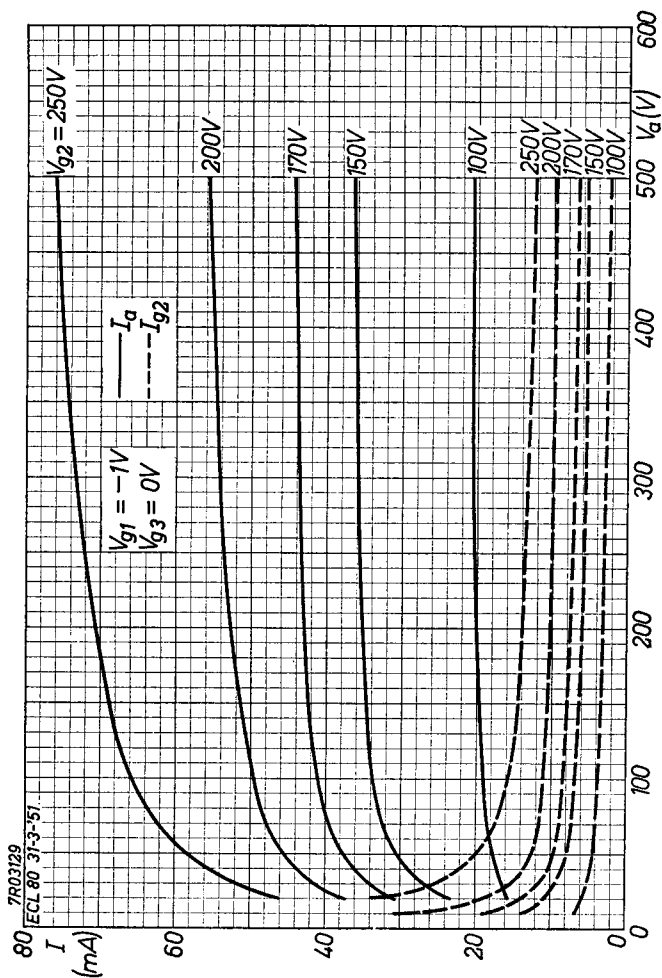
# PHILIPS

# ECL 80



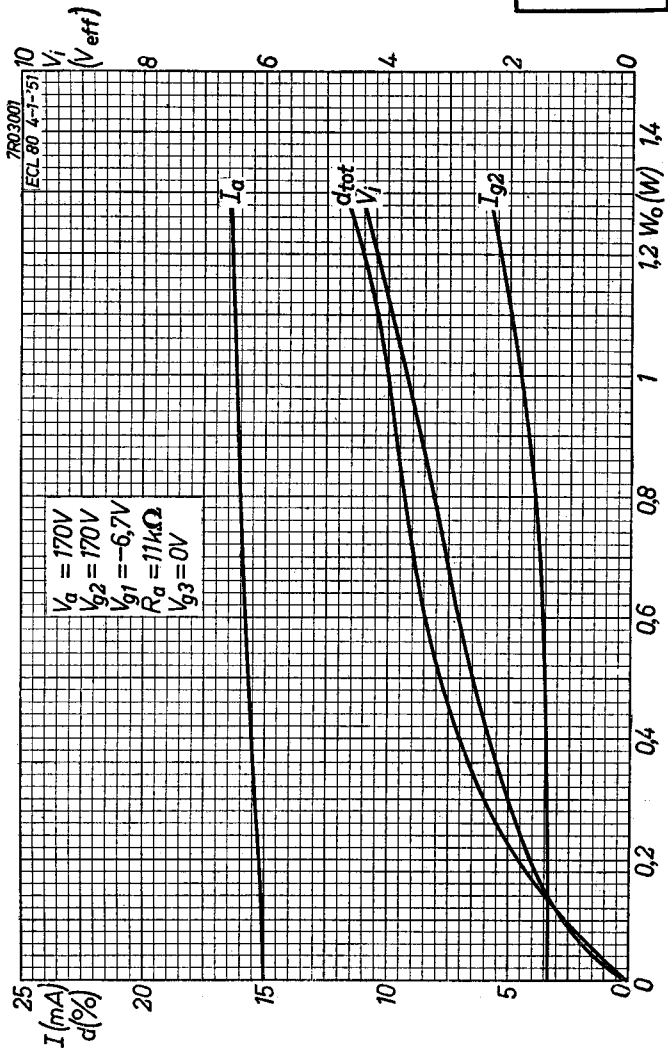
1.1.1954

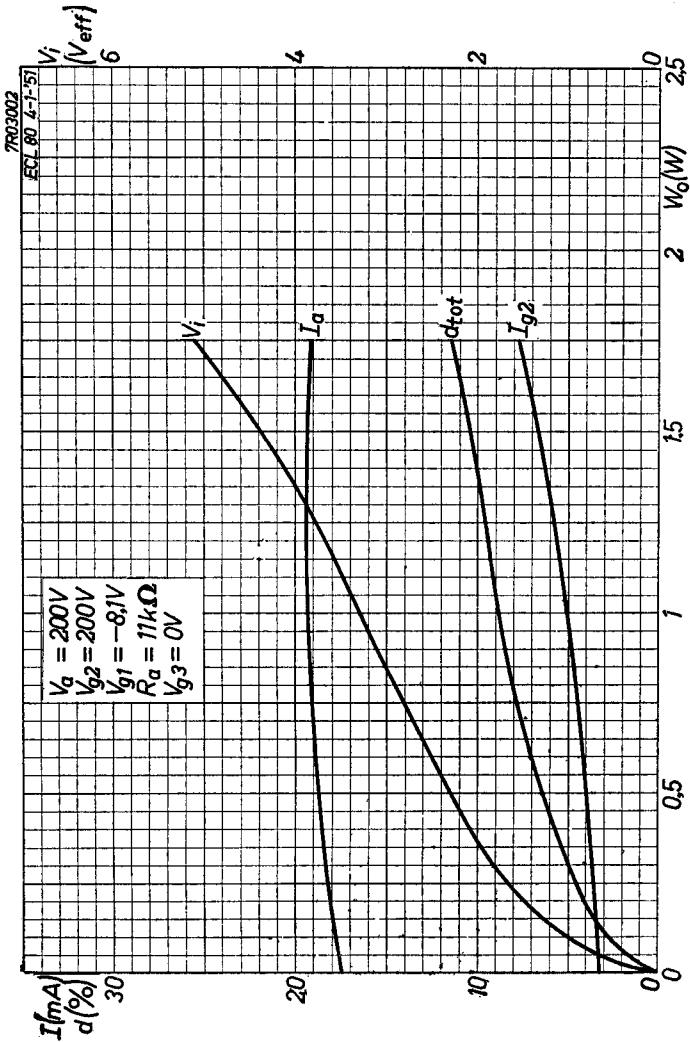
~

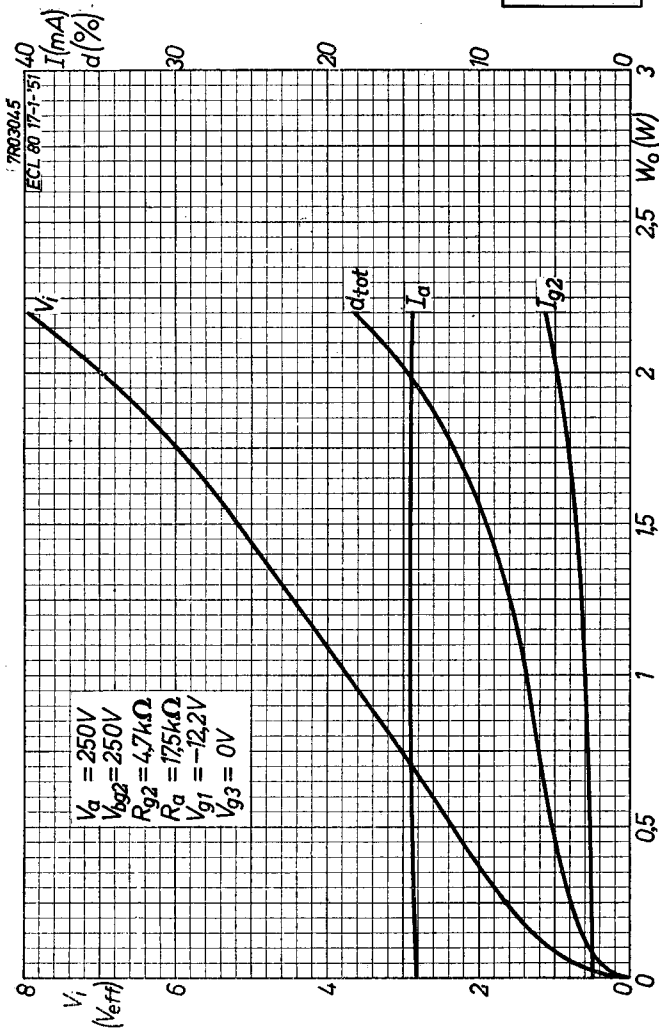
**ECL 80****PHILIPS**

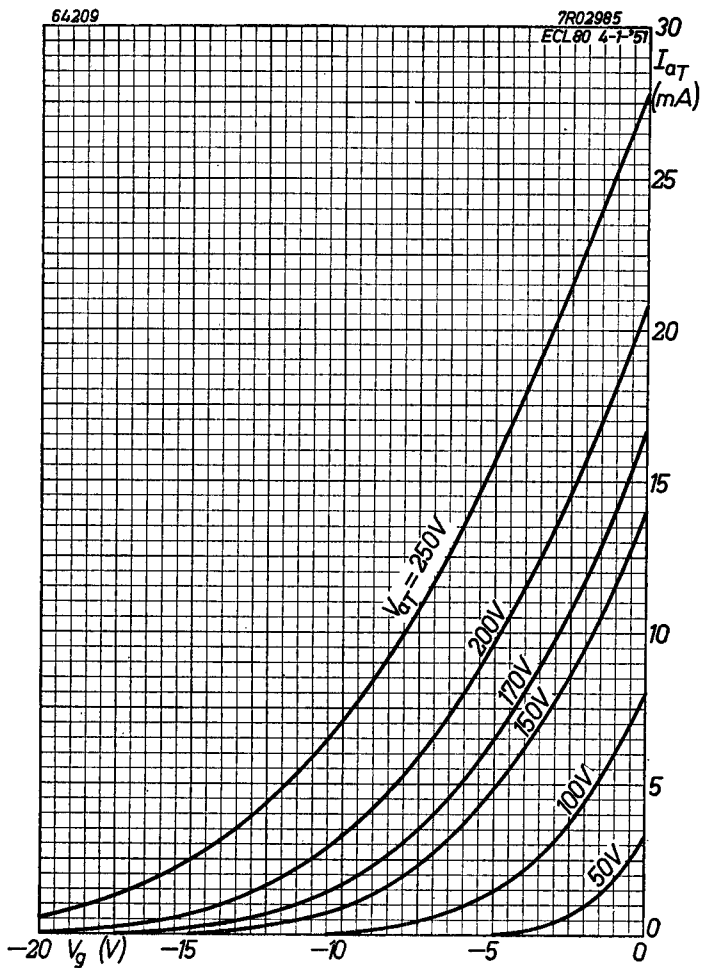
K





**ECL 80****PHILIPS**

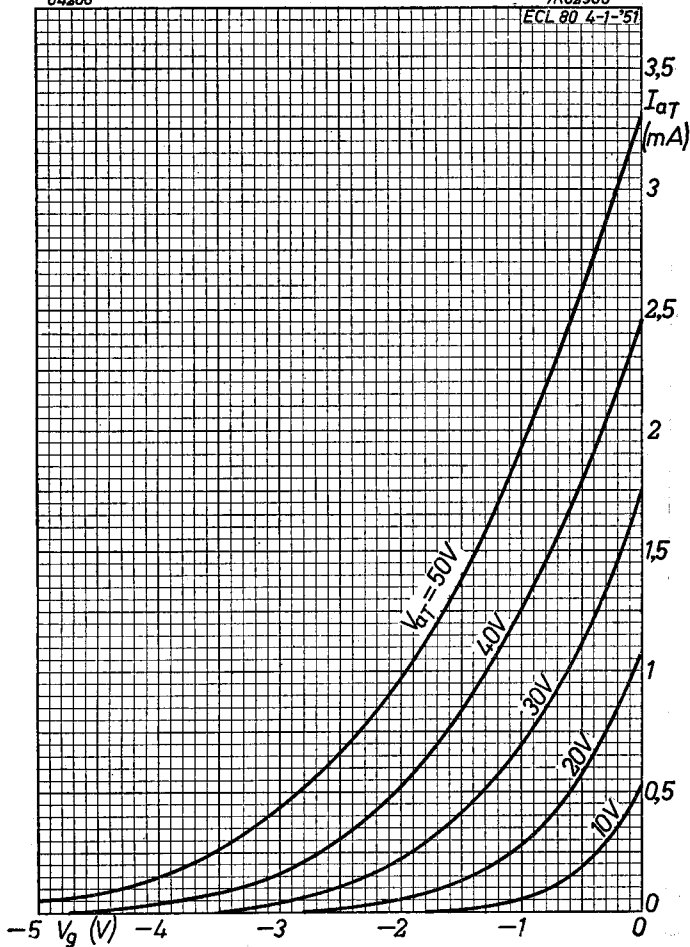


**ECL 80****PHILIPS**

64208

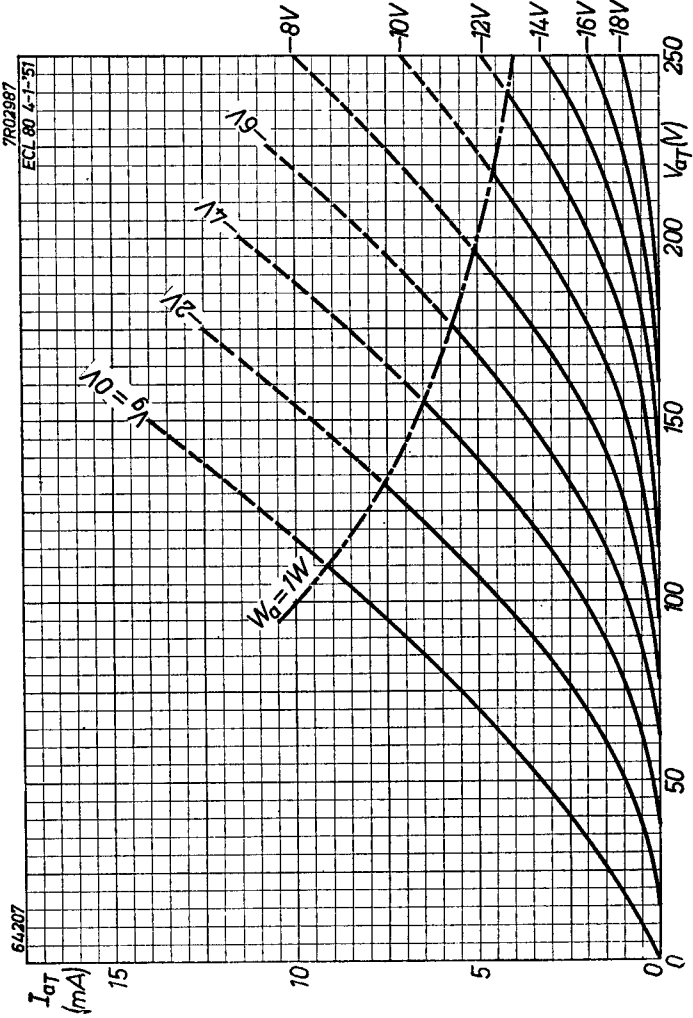
7R02986

ECL 80 4-1-'51



**ECL 80**

**PHILIPS**



**PHILIPS**

*Electronic  
Tube*

**HANDBOOK**

<b>page</b>	<b>ECL80 sheet</b>	<b>date</b>
1	1	1952.12.12
2	2	1952.12.12
3	3	1952.12.12
4	4	1952.12.12
5	5	1951.12.12
6	A	1951.12.12
7	B	1951.02.02
8	C	1951.02.02
9	D	1951.02.02
10	E	1951.02.02
11	F	1951.02.02
12	G	1951.02.02
13	H	1951.02.02
14	I	1951.02.02
15	J	1954.01.01
16	K	1954.01.01
17	L	1957.10.10
18	M	1957.10.10
19	N	1957.10.10

20	O	1957.10.10
21	P	1957.10.10
22	Q	1957.10.10
23, 24	FP	1999.06.26